
Optimisation multi-objectifs : un tutoriel

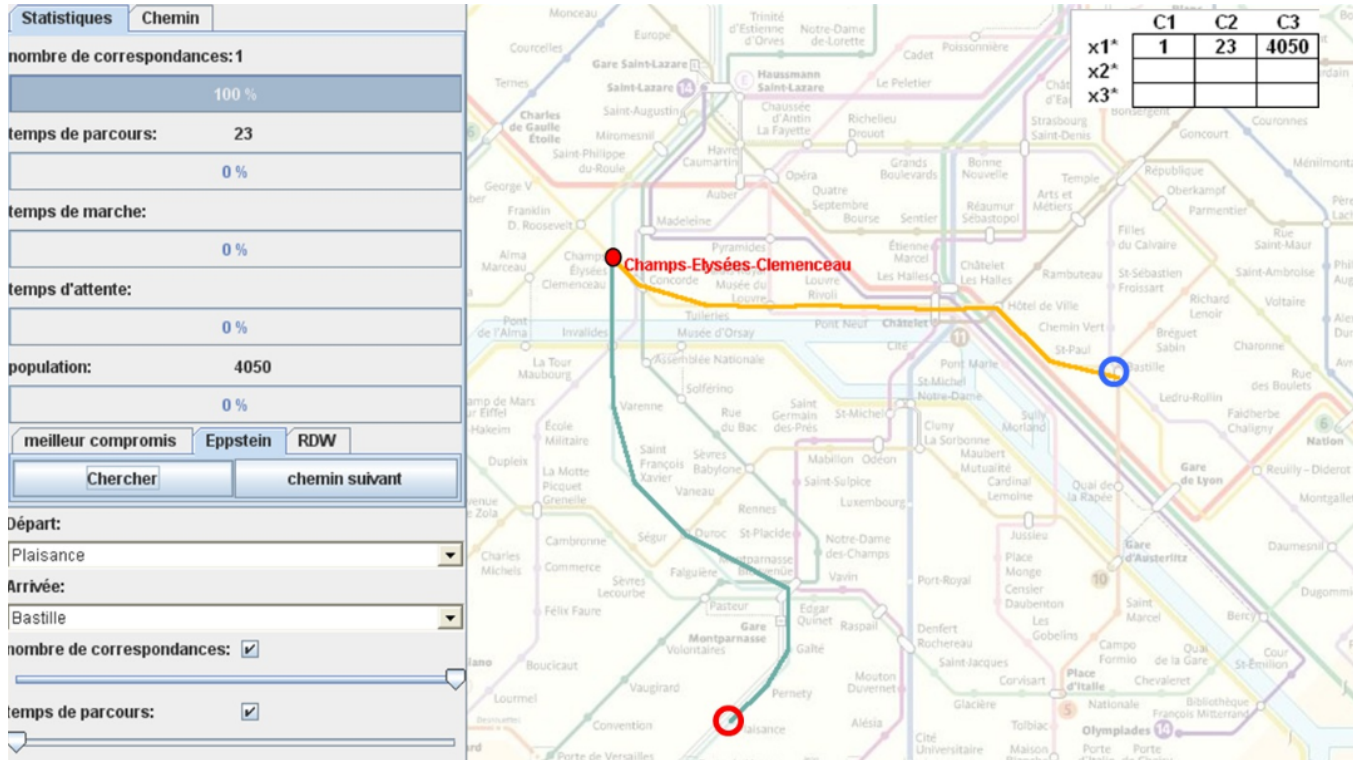
olivier.spanjaard@lip6.fr
33ème journée JFRO - 23 juin 2015

Exemples introductifs

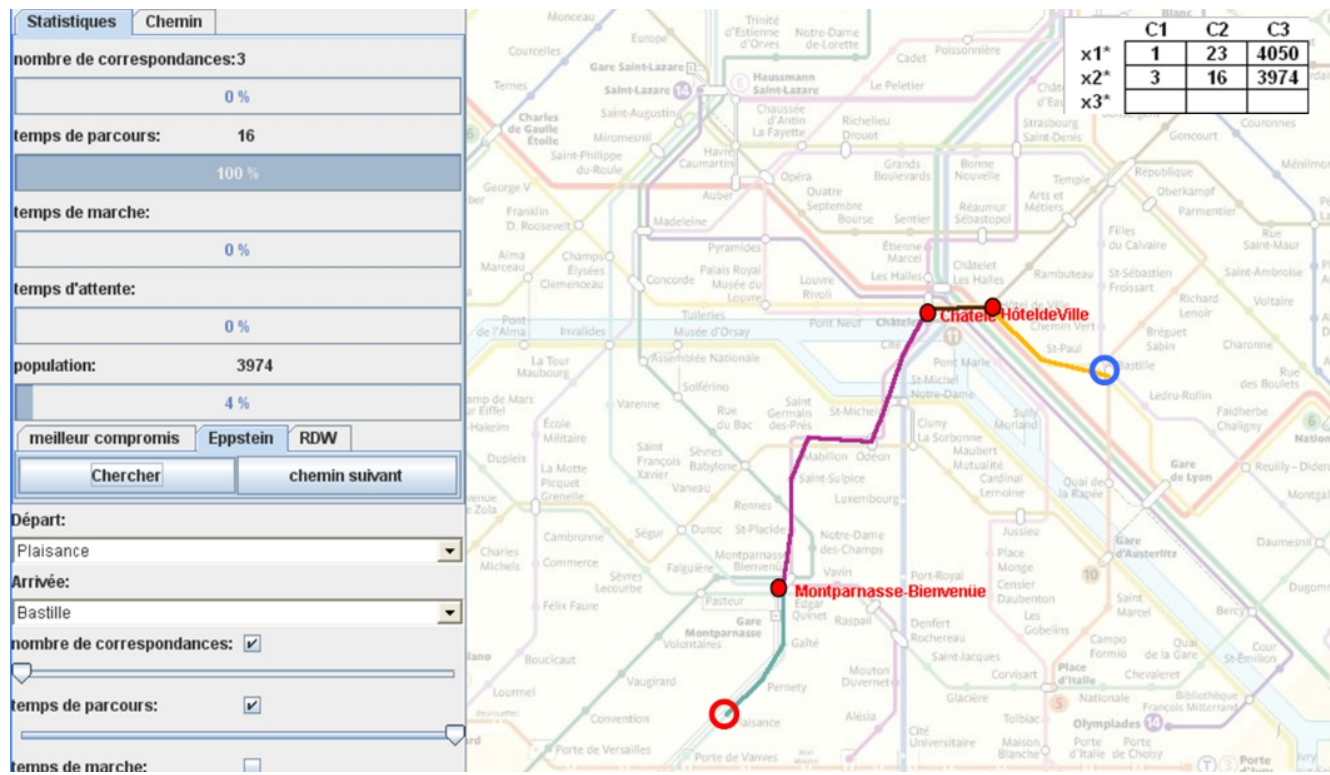
Exemple 1 : optimisation multicritère



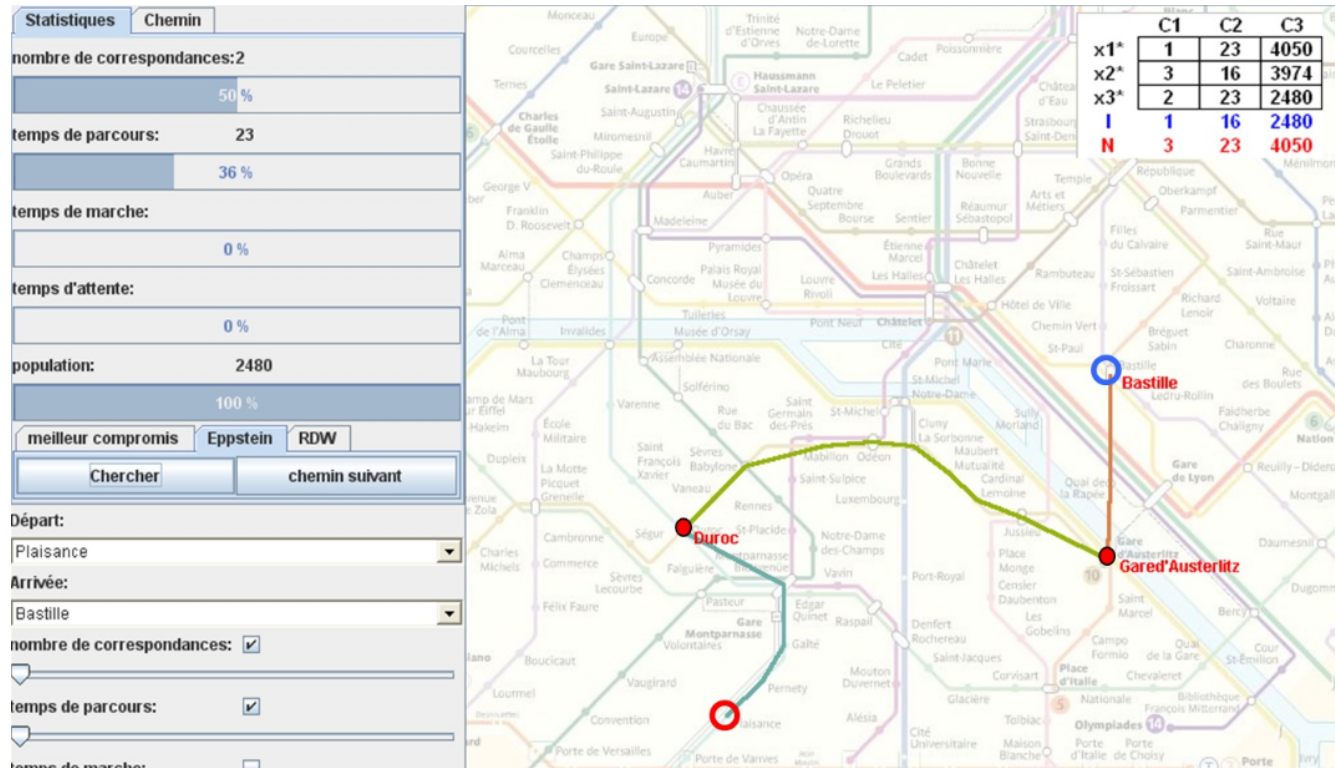
Exemple 1 : optimisation multicritère



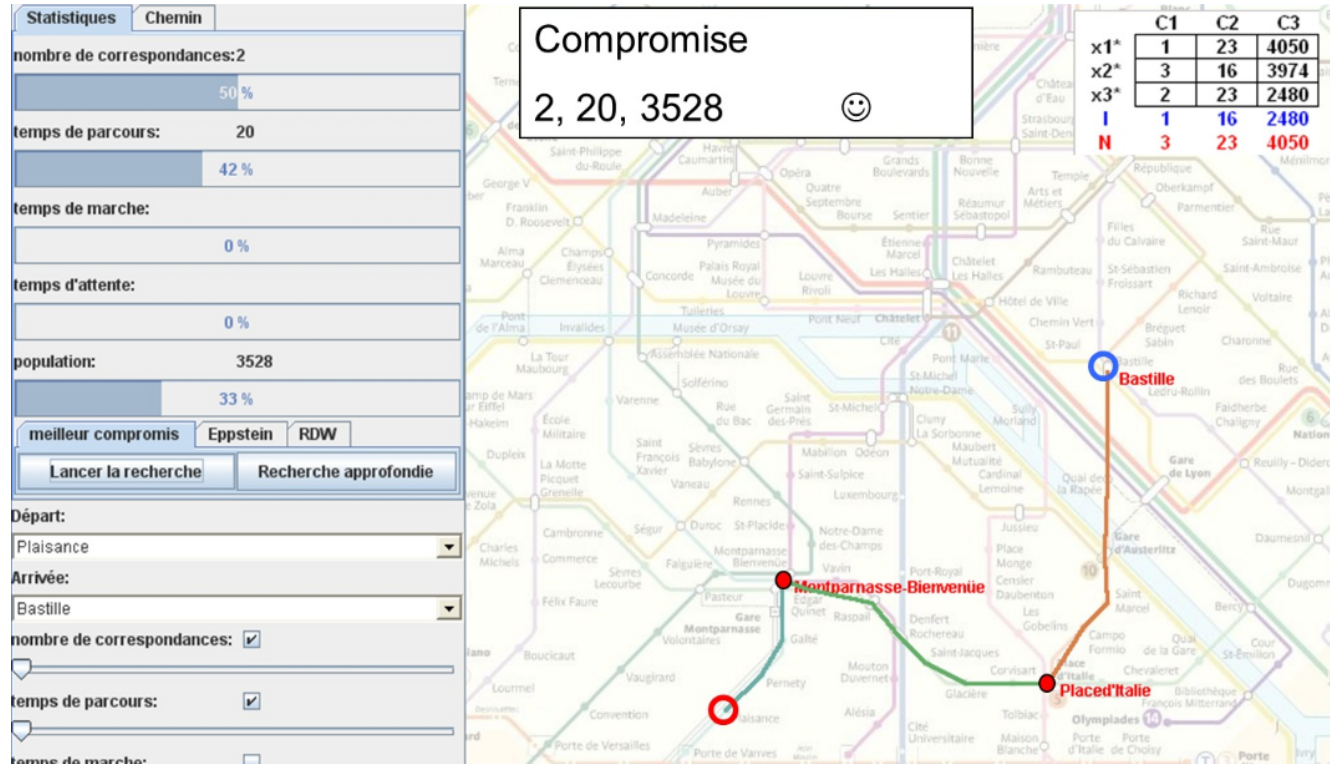
Exemple 1 : optimisation multicritère



Exemple 1 : optimisation multicritère



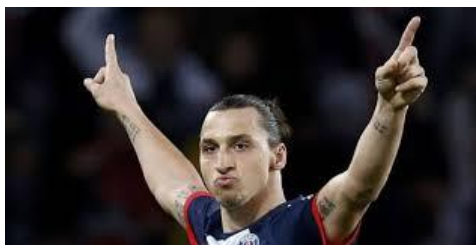
Exemple 1 : optimisation multicritère



Exemple 2 : optimisation ordinale

Transfert de footballeurs :

- Recruter $k = 2$ joueurs, avec un budget $B = 6$
- Joueurs sur la *short-list* :



top joueur

j_1

$w_1 = 5$

international

j_2

$w_2 = 2$

international

j_3

$w_3 = 4$

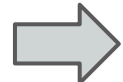
joueur de club

j_4

$w_4 = 1$

Exemple 2 : optimisation ordinale

	j_1	j_2	j_3	j_4	recrutements possibles (B = 6)				choix	
coût	5	2	4	1	$\{j_1, j_4\}$	$\{j_2, j_3\}$	$\{j_2, j_4\}$	$\{j_3, j_4\}$		
T: 8, I: 4, C: 1	8	4	4	1	9	8	5	5	$\{j_1, j_4\}$	
T: 8, I: 5, C: 1	8	5	5	1	9	10	6	6	$\{j_2, j_3\}$	



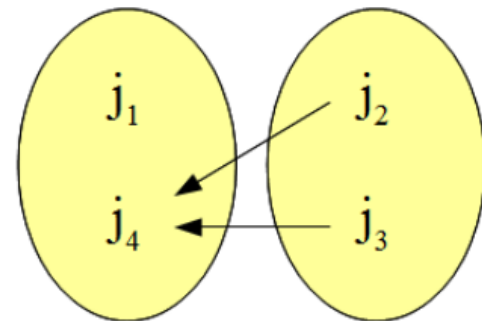
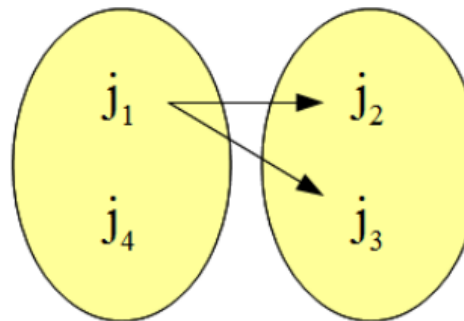
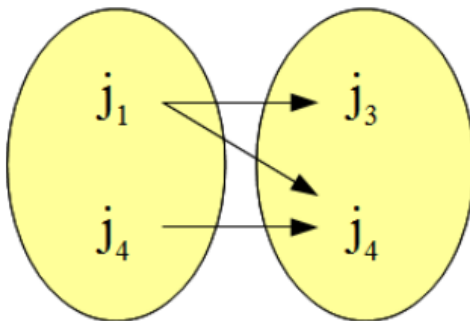
Besoin de définir des préférences **ordinales**

Exemple 2 : optimisation ordinale

Bossong et Schweigert (1996) :

$E \geq F$ si il existe une injection $\pi : F \rightarrow E$ tq :

$$\forall f \in F : \pi(f) \geq f$$

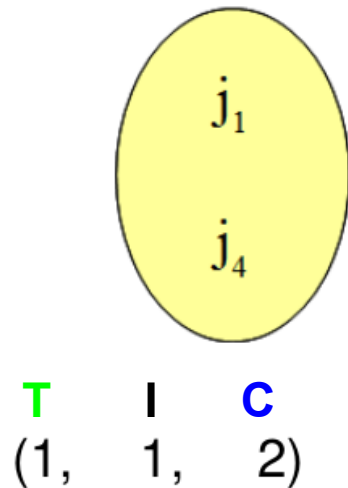


$$\{j_1, j_4\} \geq \{j_3, j_4\}$$

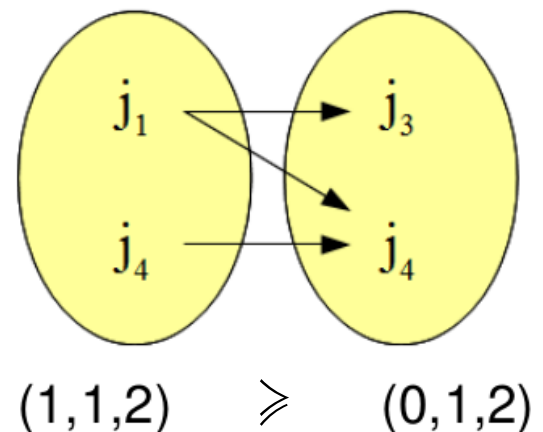
$$\{j_1, j_4\} \not\geq \{j_2, j_3\}$$

$$\{j_1, j_4\} \not\leq \{j_2, j_3\}$$

Exemple 2 : optimisation ordinale



$$\begin{aligned}V(\{j_1, j_4\}) &= (1, 1, 2) \\V(\{j_3, j_4\}) &= (0, 1, 2) \\V(\{j_1\}) &= (1, 1, 1) \\V(\{j_3\}) &= (0, 1, 1) \\V(\{j_4\}) &= (0, 0, 1)\end{aligned}$$



Dominance ordinaire \iff Dominance de Pareto

Exemple 3 : optimisation multi-agent

2 reviewers per paper

u_{ij}	Paper 1	Paper 2	Paper 3	Paper 4	Paper 5
Reviewer 1	3	3	4	3	4
Reviewer 2	3	4	4	2	3
Reviewer 3	1	2	3	2	3

Solution 1 $1 \leftarrow \{1, 3, 4, 5\}$ $2 \leftarrow \{1, 2, 3\}$ $3 \leftarrow \{2, 4, 5\}$
 $x = (14, 11, 7)$ $\Sigma=32$ $\min = 7$

Solution 2 $1 \leftarrow \{1, 4, 5\}$ $2 \leftarrow \{1, 2, 3\}$ $3 \leftarrow \{2, 3, 4, 5\}$
 $x = (10, 11, 10)$ $\Sigma=31$ $\min = 10$

Cadre et notations

Calcul de l'ensemble de Pareto

Approche classique : générer l'ensemble de Pareto

Justification

Naturel si on ne dispose pas d'information préférentielle : un décideur rationnel choisira parmi les solutions Pareto optimales.

Procédures de résolution

- algorithmes gloutons multi-objectifs
- programmation dynamique multi-objectifs
- énumération ordonnée
- méthodes en deux phases
- branch and bound multi-objectifs

Notations

Points and solutions are basically compared using the concept of Pareto dominance.

For any $z, z' \in \mathcal{Z}$, we define the following relations:

$$\begin{aligned} z = z' & \quad \text{iff } z_j = z'_j, \text{ for all } j \in \{1, \dots, p\} \\ z \leq z' \quad (z \text{ weakly dominates } z') & \quad \text{iff } z_j \leq z'_j, \text{ for all } j \in \{1, \dots, p\} \\ z < z' \quad (z \text{ strictly dominates } z') & \quad \text{iff } z_j < z'_j, \text{ for all } j \in \{1, \dots, p\} \\ z \leq z' \quad (z \text{ dominates } z') & \quad \text{iff } z \leq z' \text{ and } z' \neq z \end{aligned}$$

We define in the same way the relations \geq , $>$ and \geq .

These definitions are propagated in the decision space as follows, for any $x, x' \in \mathcal{X}$:

$$\begin{aligned} x \approx x' & \quad \text{iff } c(x) = c(x') \\ x \lesssim x' \quad (x \text{ weakly dominates } x') & \quad \text{iff } c(x) \leq c(x') \\ x \prec x' \quad (x \text{ strictly dominates } x') & \quad \text{iff } c(x) < c(x') \\ x \precsim x' \quad (x \text{ dominates } x') & \quad \text{iff } c(x) \leq c(x') \end{aligned}$$

Espace de décision, espace des objectifs

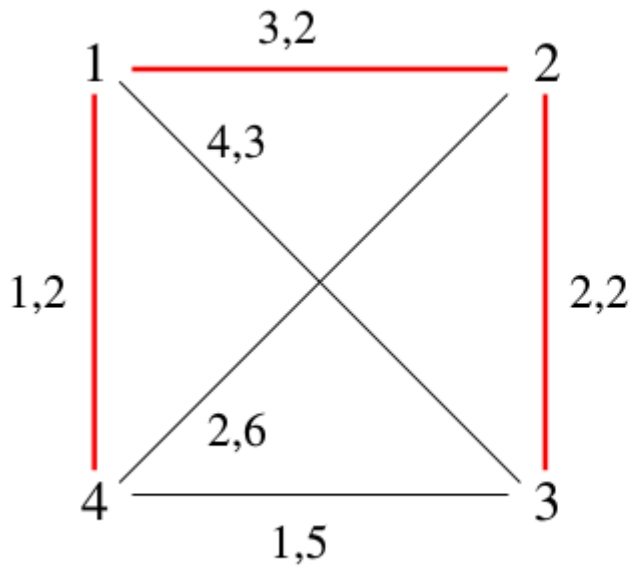
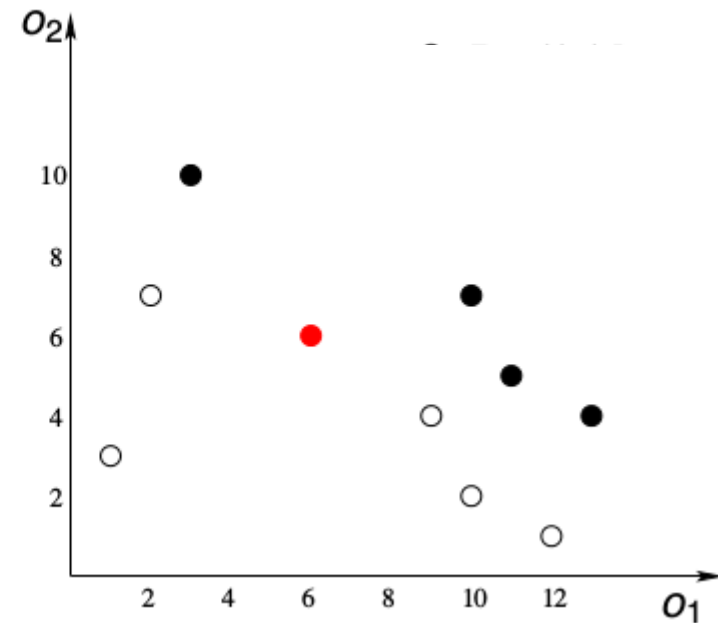


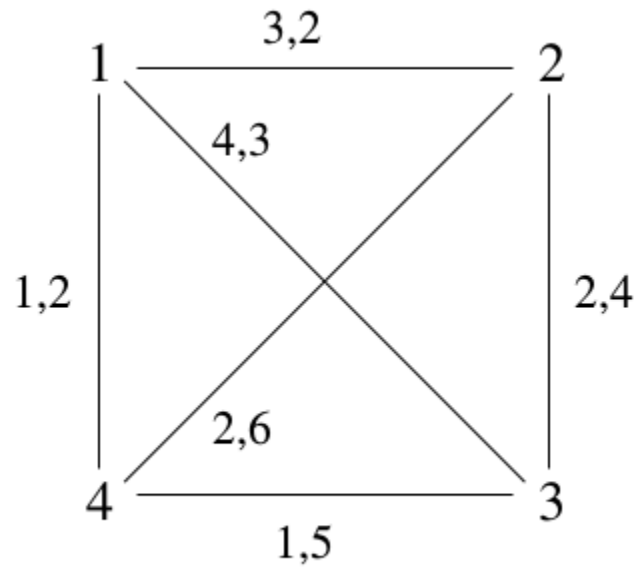
image = **(6,6)**

Espace de décision

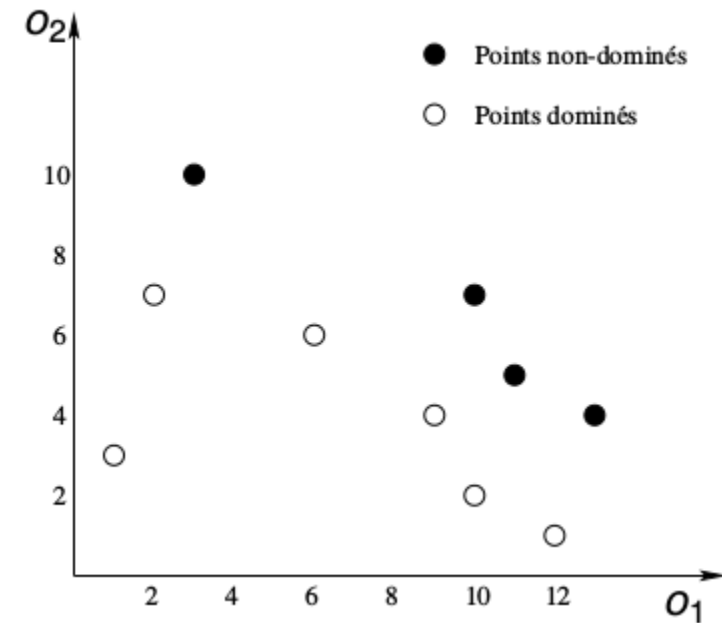


Espace des objectifs

Espace de décision, espace des objectifs



Espace de décision

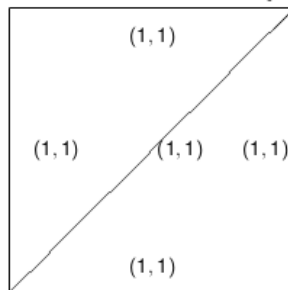


Espace des objectifs

Espace de décision, espace des objectifs

On recherche **une** solution / point non-dominé

- Si toutes les arêtes ont la même valeur, tous les arbres couvrants sont Pareto optimaux !



T_1	(3, 3)
T_2	(3, 3)
T_3	(3, 3)
T_4	(3, 3)

T_5	(3, 3)
T_6	(3, 3)
T_7	(3, 3)

- En pratique, les cardinalités dans l'espace de décision et dans l'espace des objectifs diffèrent fortement (les valeurs indiquées correspondent au problème d'affectation multi-objectifs) :

	Espace de décision			Espace des objectifs		
	min	moy	max	min	moy	max
A-20-100	233	374	1487	67	89	129
A-20-200	732	47271	888863	107	136	159

Sélection multi-objectifs

Sélection multi-objectifs (MOSS)

Données : n objets, chaque objet i est valué par (c_1^i, \dots, c_p^i)

Solution réalisable : sous-ensemble de k objets

But : déterminer un ensemble de Pareto (min)

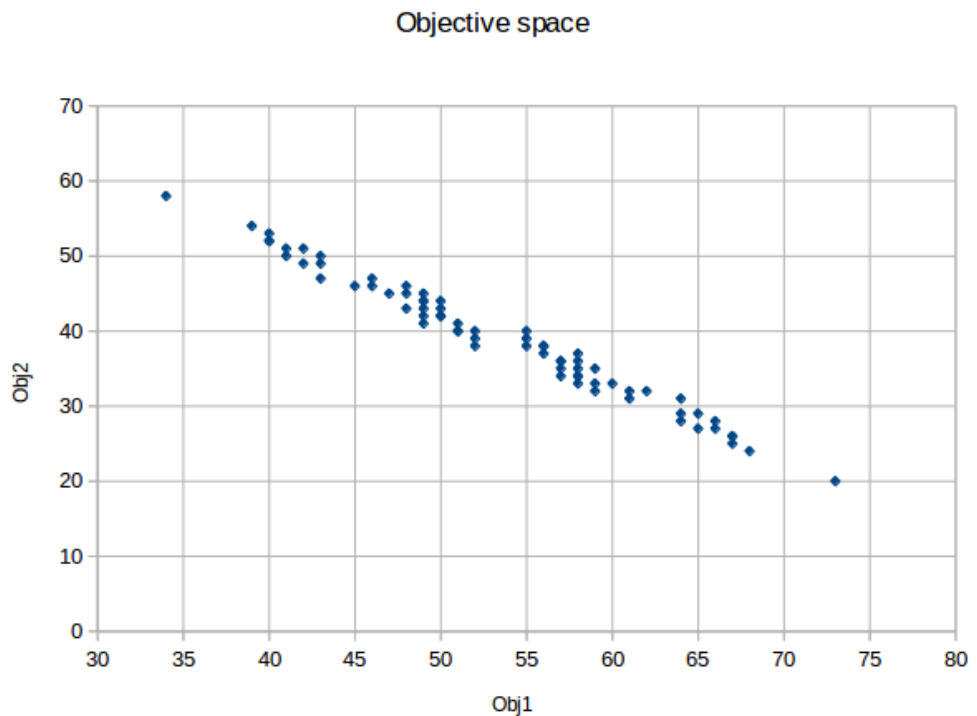


Toutes les procédures de résolution présentées dans ce tutoriel seront illustrées sur ce problème.

Illustration

Sélectionner 4 objets parmi 8
(70 solutions réalisables) :

1	18	5
2	17	7
3	9	14
4	12	11
5	2	20
6	18	6
7	20	2
8	11	13
item	Obj1	Obj 2



Complexité

Complexité

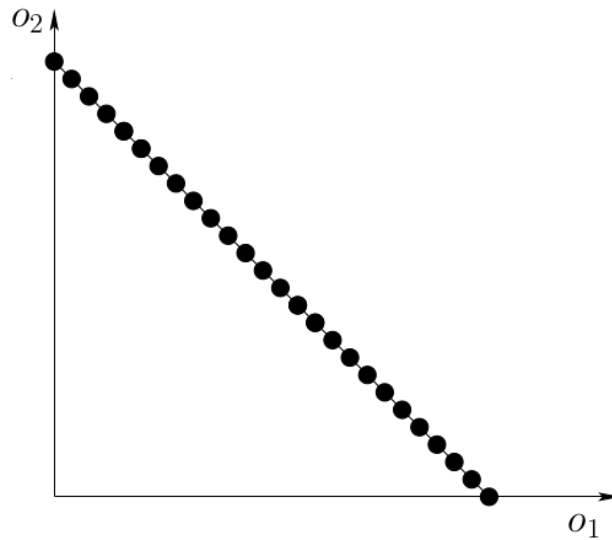
Evaluée en étudiant (Serafini 1986, Ehrgott 2000) :

- le nombre de **points non-dominés** au pire cas. Plusieurs exemples d'instances pathologiques où toutes les solutions réalisables ont des images distinctes dans l'espace des objectifs et sont Pareto-optimales.
- la complexité du **problème de décision associé** :

“Etant données p valeurs v_1, \dots, v_p et un problème d'optimisation combinatoire multi-objectifs, existe-t-il une solution réalisable qui domine au sens faible (v_1, \dots, v_p) ?”

Nombre de points non-dominés

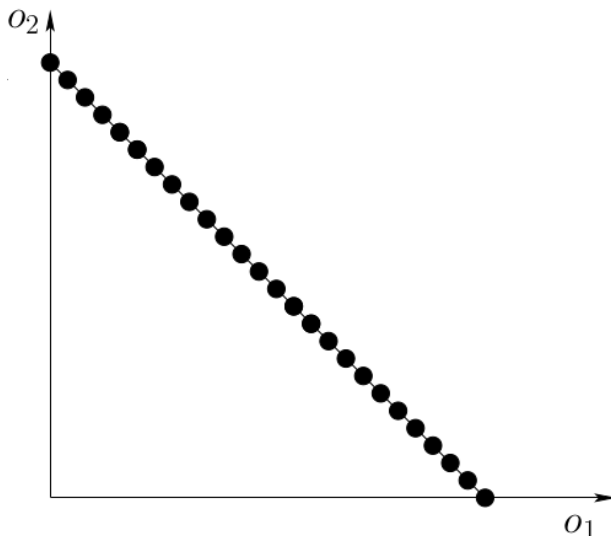
Comment construire une instance avec l'image ci-dessous dans l'espace des objectifs ?



Nombre de points non-dominés

Comment construire une instance avec l'image ci-dessous dans l'espace des objectifs ?

- valuer chaque objet i par $(2^{i-1}, 2^n - 2^{i-1})$ pour $i=1,\dots,n$
- pour tout ensemble S de cardinalité k on a :
$$f_1(S) + f_2(S) = k \cdot 2^n$$
- la **valeur sur le premier objectif** est :



S	$f_1(S)$	Binaire
{4,3,2,1}	$2^3 + 2^2 + 2^1 + 2^0$	00001111
{8,6,4,2}	$2^7 + 2^5 + 2^3 + 2^1$	10101010
{8,7,6,5}	$2^7 + 2^6 + 2^5 + 2^4$	11110000

Problème de décision associé

Pour simplifier, considérons le **problème de plus court chemin multi-objectifs**.

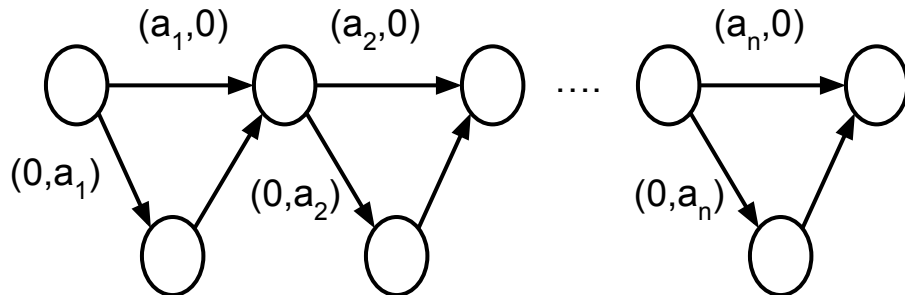
(*Partition problem*)

Given $n \in \mathbb{N}$ and a set of numbers $\{a_1, \dots, a_n\}$, $a_i \in \mathbb{N}$.

Question: Does there exist a subset $S \subset N := \{1, \dots, n\}$ such that

$$\sum_{i \in S} a_i = \sum_{j \in N \setminus S} a_j$$

Answer: yes or no



$$\left(\frac{\sum_i a_i}{2}, \frac{\sum_i a_i}{2} \right)$$

Algorithme glouton multi-objectifs

Algorithme glouton multi-objectifs

La version à un seul objectif :

Algorithm 1: Greedy algorithm

Data: $E = \{e^1, \dots, e^n\}$

Compute a topological numbering τ of the elements of E

$x \leftarrow \emptyset$

for $i = 1, \dots, n$ **do**

if $x \cup \{e^{\tau(i)}\} \in \hat{\mathcal{X}}$ **then** $x \leftarrow x \cup \{e^{\tau(i)}\}$

return x

où $\tau : \{1, \dots, n\} \rightarrow \{1, \dots, n\}$ such that $c(e^i) < c(e^j) \Rightarrow \tau(i) < \tau(j)$
 $\hat{\mathcal{X}}$ est l'ensemble des solutions réalisables partielles

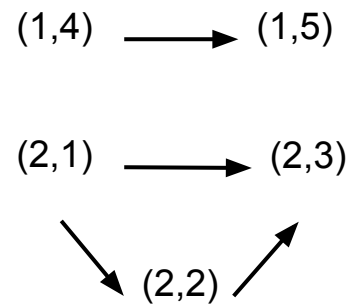
Comment étendre au cas multi-objectifs ?

Algorithme glouton multi-objectifs

Algorithme glouton multi-objectifs

1. **Calculer** l'ensemble T de tous les tris topologiques compatibles avec Pareto
2. $X \leftarrow \emptyset$
3. **Pour** chaque tri topologique τ dans T :
 $x \leftarrow$ Greedy algorithm selon τ
 $X \leftarrow X \cup \{x\}$
4. **Retourner** les solutions Pareto optimales de X

	Obj. 1	Obj. 2
Item 1	1	4
Item 2	1	5
Item 3	2	1
Item 4	2	2
Item 5	2	3



tris	valeur
$(1,4), (1,5)$	$(2,9)$
$(1,4), (2,1)$	$(3,5)$
$(2,1), (2,2)$	$(4,3)$

10 solutions réalisables pour k=2

Algorithme glouton multi-objectifs

Theorem 3. Let x be a Pareto optimal solution, then there exists a topological numbering on E such that the greedy algorithm returns x .

Proof. It is sufficient to observe that for all elements e' in $E \setminus x$ and e in x , we cannot have $c(e') \leq c(e)$, otherwise $x \cup \{e'\} \setminus \{e\}$ would Pareto dominate x . Consequently there exists at least one topological numbering on E in which the elements of x are ranked in the k first positions. The greedy algorithm obviously returns x for this topological numbering. \square

dominée

MAIS :

	Obj. 1	Obj. 2
Item 1	1	4
Item 2	2	2
Item 3	2	2
Item 4	4	1

6 solutions réalisables pour k=2

(1,4) (2,2)
(4,1) (2,2)
(pas d'arcs)

tris	valeurs
(1,4), (2,2)	(3,6)
(1,4), (4,1)	(5,5)
(2,2), (2,2)	(4,4)
(2,2), (4,1)	(6,3)

Algorithme glouton multi-objectifs

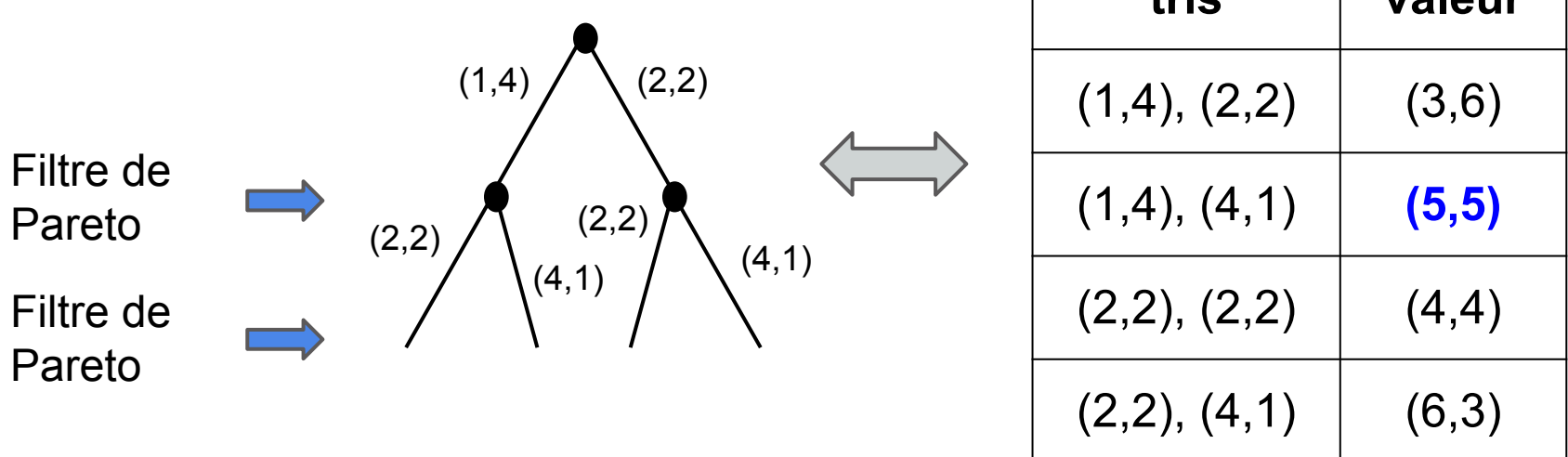
L'algorithme glouton multi-objectifs a été principalement appliqué au **problème de l'arbre couvrant multi-objectifs** :

- [Corley \(1985\)](#) avec une généralisation de l'algorithme de Prim,
- [Serafini \(1986\)](#) avec une généralisation de l'algorithme de Kruskal.

Mais les deux algorithmes **ne sont pas capables de résoudre des instances de taille réelle** du fait du nombre combinatoire de tris topologiques.

Algorithme glouton multi-objectifs

- L'algorithme glouton multi-objectifs retourne un **sur-ensemble** de l'ensemble de Pareto
- Il y a eu des tentatives pour échapper à cet écueil, en appliquant un filtre de Pareto à chaque niveau de l'arbre d'énumération des tris topologiques :



Algorithme glouton multi-objectifs



European Journal of Operational Research 143 (2002) 543–547

EUROPEAN
JOURNAL
OF OPERATIONAL
RESEARCH

www.elsevier.com/locate/dsw

Discrete Optimization

Enumeration of Pareto optimal multi-criteria spanning trees –
a proof of the **incorrectness** of Zhou and Gen's proposed
algorithm

Joshua D. Knowles *, David W. Corne

Department of Computer Science, University of Reading, Reading, UK

Received 16 January 2001; accepted 25 September 2001

Abstract

The minimum spanning tree (MST) problem is a well-known optimization problem of major significance in operational research. In the *multi-criteria* MST (mc-MST) problem, the scalar edge weights of the MST problem are replaced by vectors, and the aim is to find the complete set of Pareto optimal minimum-weight spanning trees. This

Et ce n'est même pas Zhou and Gen qui l'ont proposé initialement !

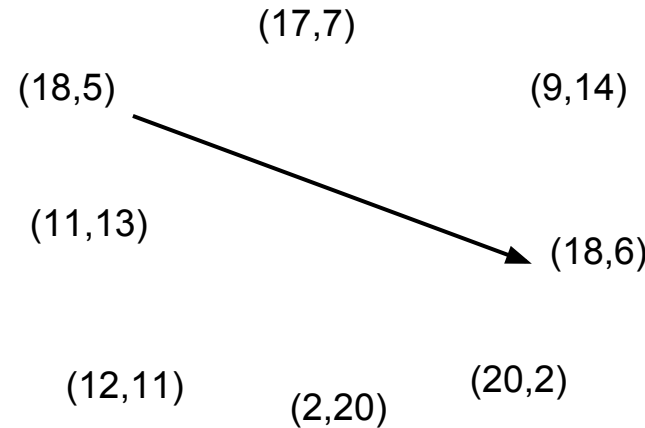
Algorithme glouton multi-objectifs

- Hamacher et Ruhe (1994) sont les premiers à avoir proposé cette modification de l'algorithme :
“In our experiments, we used a modified version [...] which excludes in each iteration subtrees which are non-efficient”.
- Cette version a ensuite été reprise par Zhou and Gen (1999) et par Ehrgott (2000).
- Le **remède est ici pire que le mal** : la version modifiée peut manquer des solutions Pareto-optimales et par conséquent également retourner des solutions dominées qui ne peuvent pas être filtrées.

Algorithme glouton multi-objectifs

Retour sur l'instance initiale:

1	18	5
2	17	7
3	9	14
4	12	11
5	2	20
6	18	6
7	20	2
8	11	13
item	Obj1	Obj 2



De très nombreux tris topologiques

→ L'algorithme glouton multi-objectifs va être inefficace.

Programmation dynamique multi-objectifs

Programmation dynamique multi-objectifs

- Programmation dynamique : un problème est résolu en identifiant une collection de sous-problèmes et en les traitant un par un, les plus petits en premier, les solutions des petits problèmes étant utilisées pour aider à la résolution des plus grands, jusqu'à ce que les problèmes soient tous résolus.
- La validité de l'approche repose sur le principe d'optimalité de Bellman.
- Ce principe tient toujours si on recherche l'ensemble de Pareto.



Programmation dynamique multi-objectifs

Taille	$\{1\}$...	$\{1, \dots, j-1\}$	$\{1, \dots, j\}$...	$\{1, \dots, n\}$
0 ↓	(0,0)	(0,0)	(0,0)	(0,0)	(0,0)	(0,0)
1						
...						
$i-1$			F			
i			G	E		
...						
k						

E : image des sous-ens Pareto optimaux de taille i dans $\{1, \dots, j\}$

F : image des sous-ens Pareto optimaux de taille $i-1$ dans $\{1, \dots, j-1\}$

G : image des sous-ens Pareto optimaux de taille i dans $\{1, \dots, j-1\}$

Relation de récurrence :
 $E = OPT(F+f(j) \cup G)$

PARETO

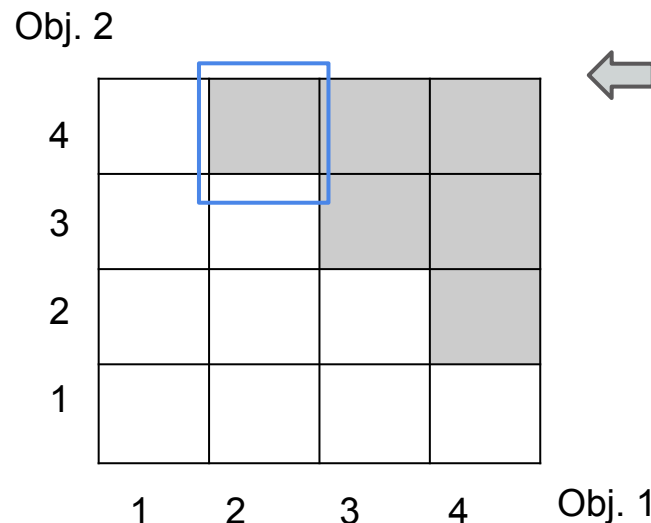
Programmation dynamique multi-objectifs

Size ↓	{1} (1,4)	{1,2} (2,3)	{1,2,3} (5,2)	{1,...,4} (2,2)	{1,...,5} (3,1)	{1,...,6} (2,5)	{1,...,7} (3,4)
0	(0,0)	(0,0)	(0,0)	(0,0)	(0,0)	(0,0)	(0,0)
1	(1,4) (2,3) (5,2)	(1,4) (2,3) (5,2)	(1,4) (2,3) (5,2)	(1,4) (5,2) (2,2)	(1,4) (2,2) (3,1)	(1,4) (2,2) (3,1)	(1,4) (2,2) (3,1)
2	0	(3,7) (6,6) (7,5)	(3,7) (6,6) (7,5)	(3,6) (4,5) (7,4)	(3,6) (4,5) (5,3)	(3,6) (4,5) (5,3)	(3,6) (4,5) (5,3)
3	0	0	(8,9)	(5,9) (8,9) (9,7)	(5,9) (6,7) (7,6) (10,5)	(5,9) (6,7) (7,6) (10,5)	(5,9) (6,7) (7,6) (10,5)

PARETO

Programmation dynamique multi-objectifs

- Complexité dans le cas **bi-objectifs** ?
- k lignes et n colonnes → **kn cellules dans le tableau**
- **$O(M)$ vecteurs / cellule** où M est une borne supérieure sur la valeur d'un objectif



au plus **un** point non-dominé par ligne !

$O(knM)$
(pseudo-polynomial)

- Appliquer la **relation de récurrence** prend un temps $O(M)$ en utilisant un arbre rouge-noir

Applications

De multiples applications de la programmation dynamique (DP) multi-objectifs :

- sac-à-dos multi-objectifs,
- plus court chemin multi-objectifs,
- etc.

(en fait tous les problèmes qui peuvent être résolus par DP dans le cas à un seul objectif)

Enumération ordonnée (cas bi-objectifs)

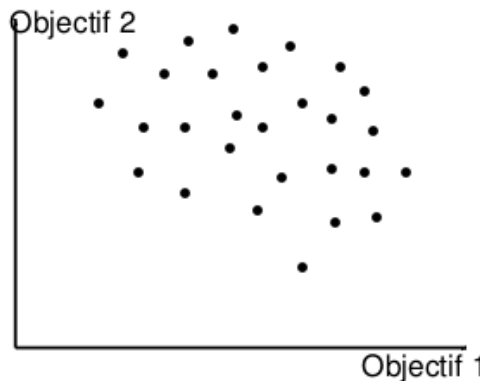
Le cas bi-objectifs

Définition : problème combinatoire bi-objectifs

- E : ens fini d'éléments,
- $c_1(\cdot)$ et $c_2(\cdot)$: deux fonctions objectifs $E \rightarrow \mathbb{Z}^+$,
- $\mathcal{F} \subseteq 2^E$: ens de solutions réalisables,
- $\forall S \in \mathcal{F}, c_i(S) = \sum_{e \in S} c_i(e)$.

But : ens \mathcal{F}^* des solutions Pareto-optimales

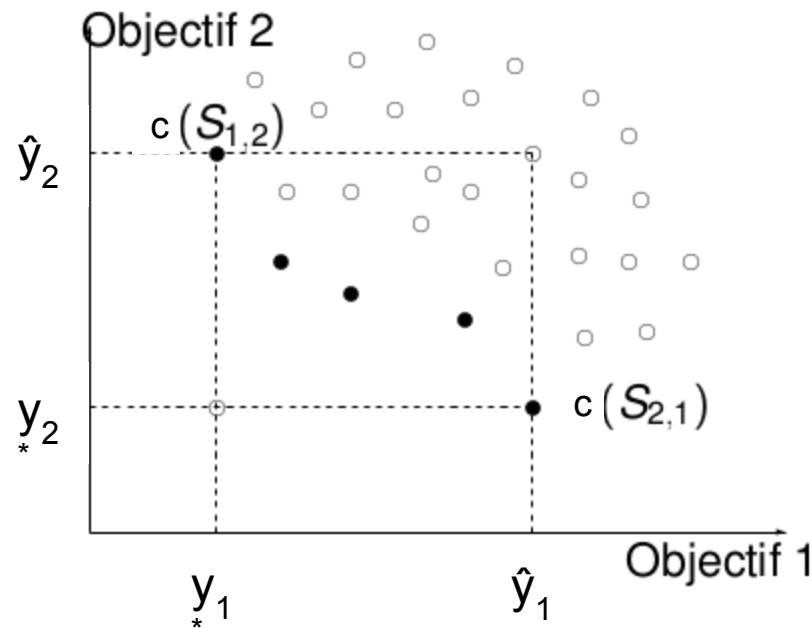
Représentation graphique commode de l'espace des objectifs :



Point idéal et point nadir

Définition : point idéal et point nadir

Le **point idéal** est le vecteur y^* défini par : $y_i^* = \min_{S \in \mathcal{F}} c_i(S)$
Le **point nadir** est le vecteur \hat{y} défini par : $\hat{y}_i = \max_{S \in \mathcal{F}^*} c_i(S)$



Algorithme Climaco et Martins (82)

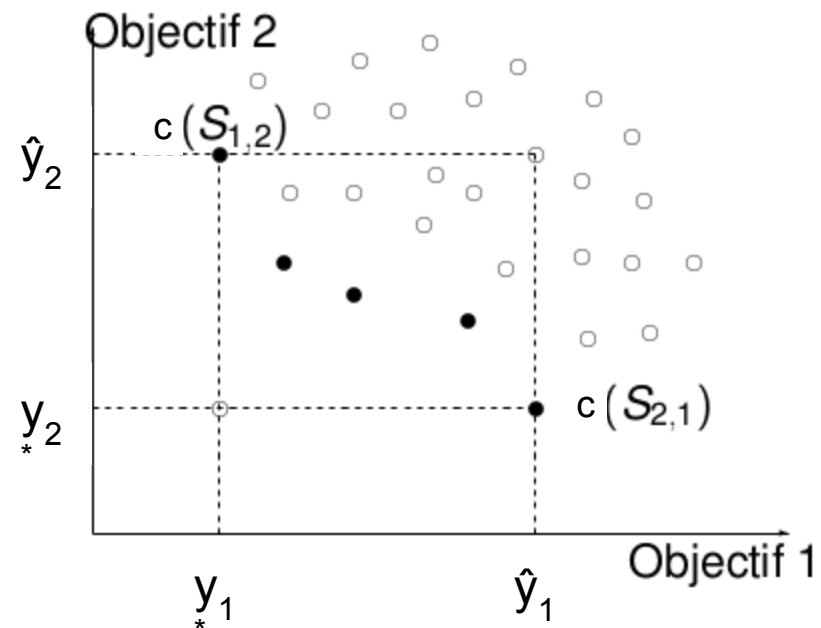
Proposition

Une solution non-dominée S vérifie :

$$y_1^* \leq c_1(S) \leq \hat{y}_1 \text{ et } y_2^* \leq c_2(S) \leq \hat{y}_2$$

Idée de la preuve : Une solution S telle que $c_1(S) > \hat{y}_1$ est dominée par $S_{2,1}$.

Principe de l'algorithme : Commencer avec la solution leximin $S_{1,2}$ puis construire la seconde selon c_1, c_2, \dots jusqu'à atteindre $S_{2,1}$.



Un exemple : MOSS

INSTANCE

objet	objectif 1	objectif 2
1	1	3
2	2	2
3	2	3
4	3	1
5	3	2
6	4	4

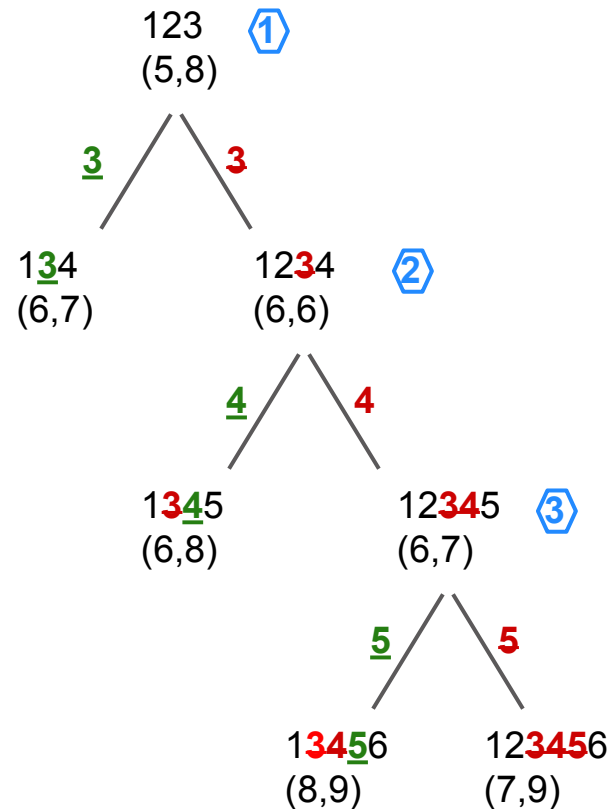
Choisir 3 objets parmi 6
20 solutions réalisables

$$\hat{y} = (8,8)$$

Enumération ordonnée

- 123 → (5,8) ①
- 124 → (6,6) ②
- 125 → (6,7) ③
- 134 → (6,7)
- 135 → (6,8)
- 145 → (7,6)
- 234 → (7,6)
- 235 → (7,7)
- 126 → (7,9)
- 136 → (7,10)
- 245 → (8,5)
- 345 → (8,6)
- 146 → (8,8)

- 156 → (8,9)
- 236 → (8,9)
- 246 → (9,7)
- 256 → (9,8)
- 346 → (9,8)
- 356 → (9,9)
- 456 → (10,7)



Arbre d'énumération ordonnée

Enumération ordonnée des K meilleures solutions (K meilleurs)

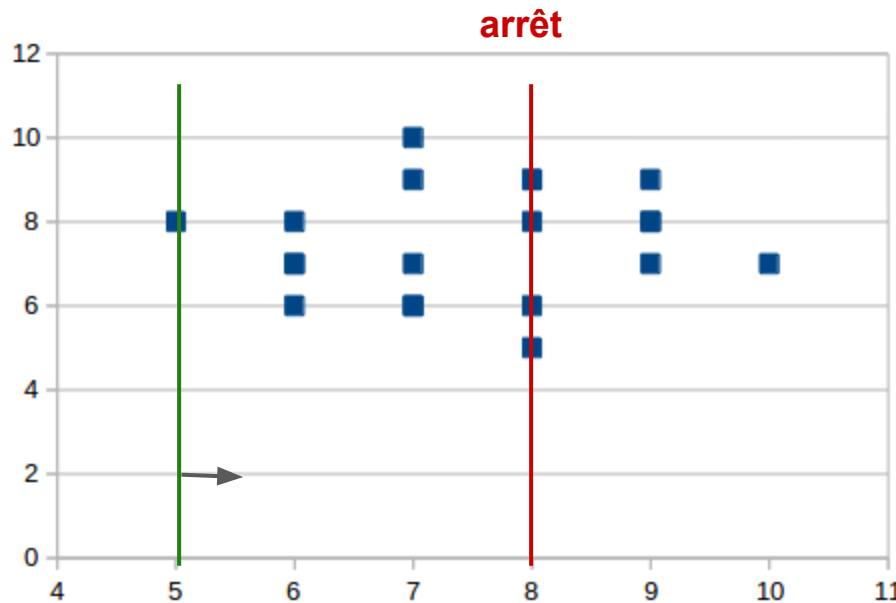
Algorithme inspiré de Gabow (77), Hamacher & Queyranne (85)

1. $S \leftarrow$ solution de coût minimal
2. $\text{Sol} \leftarrow \{S\}$
3. $\text{IN} \leftarrow \emptyset ; \text{OUT} \leftarrow \emptyset$
4. $\text{empiler}(S, \text{IN}, \text{OUT})$
5. $k \leftarrow 1$
6. **tant que** $k < K$ faire
 - 6.1. $(S, \text{IN}, \text{OUT}) \leftarrow \text{dépiler}()$
 - 6.2. $(i, j) \leftarrow \text{échange}(S, \text{IN}, \text{OUT})$ // $i \in S, j \notin S$
 - 6.3. $S_k \leftarrow S \cup \{j\} \setminus \{i\}$
 - 6.4. $\text{Sol} \leftarrow \text{Sol} \cup \{S_k\}$
 - 6.5. $\text{empiler}(S, \text{IN} \cup \{i\}, \text{OUT})$
 - 6.6. $\text{empiler}(S_k, \text{IN}, \text{OUT} \cup \{i\})$
 - 6.7. $k \leftarrow k + 1$

- IN : élément obligatoires
- OUT : éléments interdits
- $\text{échange}(S, \text{IN}, \text{OUT})$: détermine le meilleur échange à réaliser

Sortie : Sol, l'ensemble des K meilleures solutions

Limite de l'approche de Climaco et Martins



Inconvénient de l'approche de Climaco et Martins : la condition d'arrêt se déclenche très tardivement.

Une approche plus efficace

Idée : parcourir les solutions dans la direction orthogonale au segment liant les deux points leximin (5,8) et (8,5).

INSTANCE (RETRIEE)

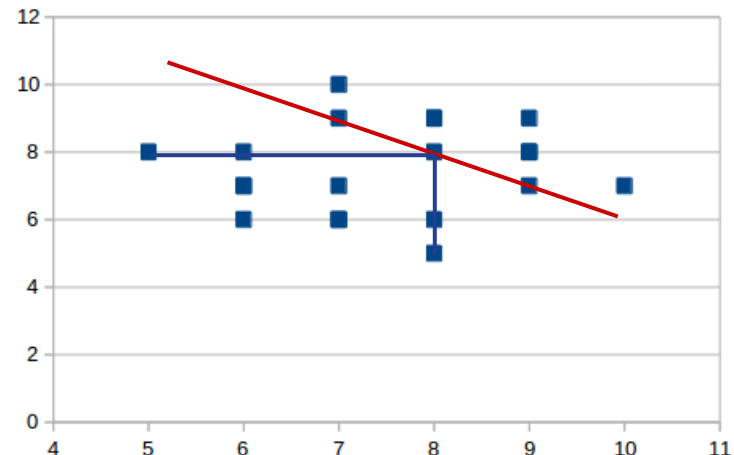
objet	objectif 1	objectif 2
1	1	3
2	2	2
4	3	1
3	2	3
5	3	2
6	4	4

Choisir 3 objets parmi 6
20 solutions réalisables

Enumération ordonnée

124 → (6,6), 12
123 → (5,8), 13
125 → (6,7), 13
143 → (6,7), 13
145 → (7,6), 13
243 → (7,6), 13
245 → (8,5), 13
135 → (6,8), 14
235 → (7,7), 14
435 → (8,6), 14
126 → (7,9), 16
146 → (8,8), 16
246 → (9,7), 16

136 → (7,10), 17
156 → (8,9), 17
etc.



Une approche plus efficace

Idée : parcourir les solutions dans la direction orthogonale au segment liant les deux points leximin ($5,8$) et ($8,5$).

INSTANCE (RETRIEE)

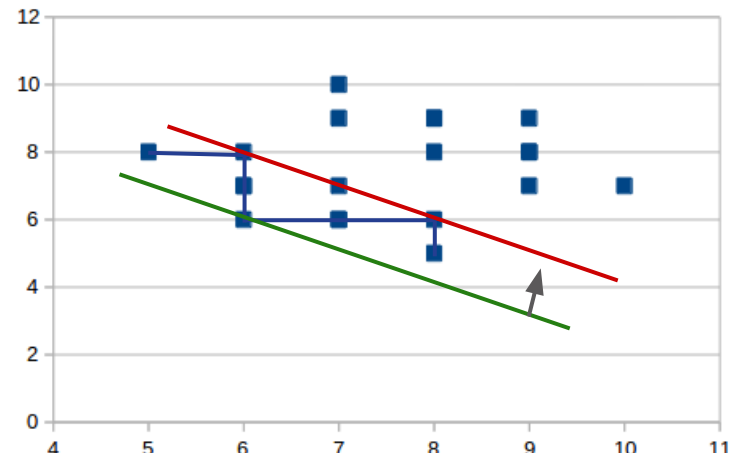
objet	objectif 1	objectif 2
1	1	3
2	2	2
4	3	1
3	2	3
5	3	2
6	4	4

Choisir 3 objets parmi 6
20 solutions réalisables

Enumération ordonnée

124 → (6,6), 12
123 → (5,8), 13
125 → (6,7), 13
134 → (6,7), 13
145 → (7,6), 13
234 → (7,6), 13
245 → (8,5), 13
135 → (6,8), 14
235 → (7,7), 14
345 → (8,6), 14

126 → (7,9), 16
146 → (8,8), 16
246 → (9,7), 16
136 → (7,10), 17
156 → (8,9), 17
etc.



Une approche plus efficace

Idée : parcourir les solutions dans la direction orthogonale au segment liant les deux points leximin ($5,8$) et ($8,5$).

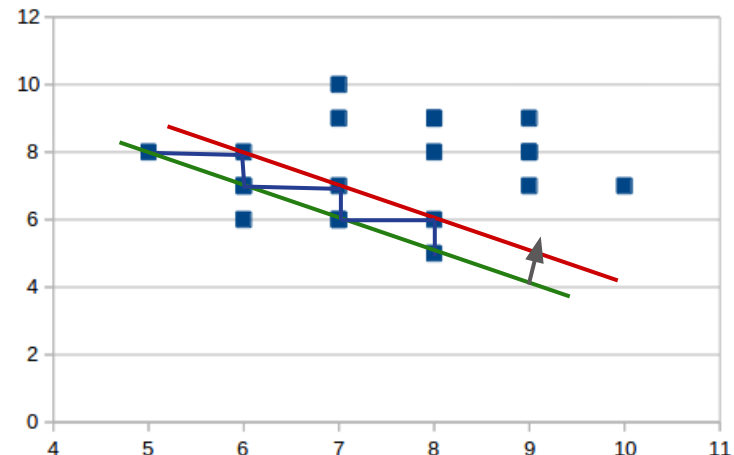
objet	objectif 1	objectif 2
1	1	3
2	2	2
4	3	1
3	2	3
5	3	2
6	4	4

Choisir 3 objets parmi 6
20 solutions réalisables

Enumération ordonnée

124 → (6,6), 12
123 → (5,8), 13
125 → (6,7), 13
134 → (6,7), 13
145 → (7,6), 13
234 → (7,6), 13
245 → (8,5), 13
135 → (6,8), 14
235 → (7,7), 14
345 → (8,6), 14

126 → (7,9), 16
146 → (8,8), 16
246 → (9,7), 16
136 → (7,10), 17
156 → (8,9), 17
etc.



Une approche plus efficace

Idée : parcourir les solutions dans la direction orthogonale au segment liant les deux points leximin (5,8) et (8,5).

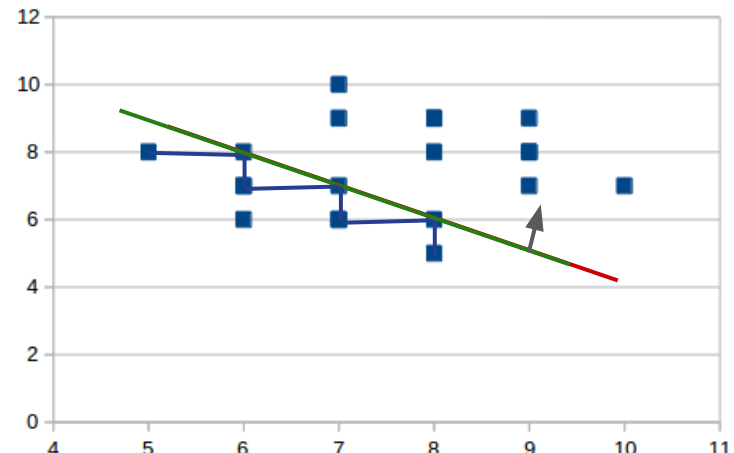
objet	objectif 1	objectif 2
1	1	3
2	2	2
4	3	1
3	2	3
5	3	2
6	4	4

Choisir 3 objets parmi 6
20 solutions réalisables

Enumération ordonnée

124 → (6,6), 12
123 → (5,8), 13
125 → (6,7), 13
134 → (6,7), 13
145 → (7,6), 13
234 → (7,6), 13
245 → (8,5), 13
135 → (6,8), 14
235 → (7,7), 14
345 → (8,6), 14

126 → (7,9), 16
146 → (8,8), 16
246 → (9,7), 16
136 → (7,10), 17
156 → (8,9), 17
etc.



Applications

Ces méthodes peuvent s'appliquer à tout problème d'optimisation combinatoire pour lequel il existe un algorithme efficace d'énumération ordonnée des solutions :

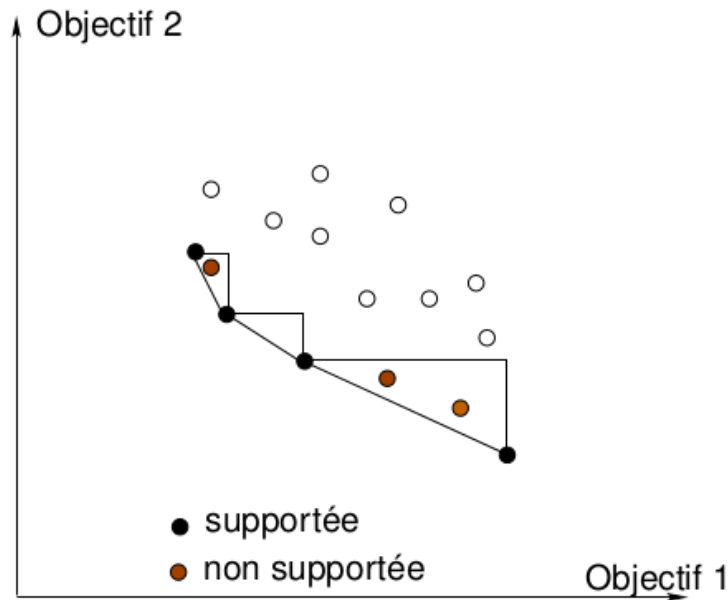
- **Plus court chemin** [Yen 1972, Eppstein 1998, Jimenez & Marzal 2003]
- **Arbre couvrant minimal** [Gabow 1977, Katoh et al. 1981, Eppstein 1992]
- **Affectation** [Katoh et al. 1981, Pedersen et al. 2008]
- **Couplage** [Hamacher & Queyranne 1985, Chegireddy & Hamacher 1987]

L'intérêt est bien sûr qu'une fois qu'on dispose de l'algorithme d'énumération ordonnée des solutions, l'adapter pour trouver les solutions Pareto-optimales d'un problème bi-objectifs ne pose pas de difficulté.

Méthodes en deux phases (cas bi-objectifs)

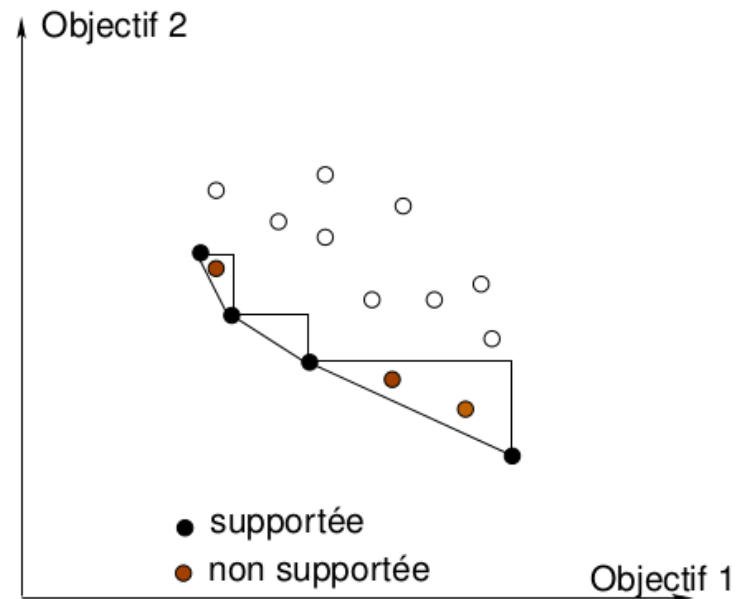
Méthode en deux phases

- Certaines solutions Pareto-optimales sont plus faciles à calculer que d'autres : ce sont les solutions **supportées**, qui optimisent une combinaison linéaire des objectifs.
- Les autres solutions Pareto-optimales sont dites **non-supportées**.
- Les solutions supportées situées aux sommets de l'enveloppe convexe sont dites **extrêmes**, les autres sont dites **non-extrêmes**.



Méthode en deux phases

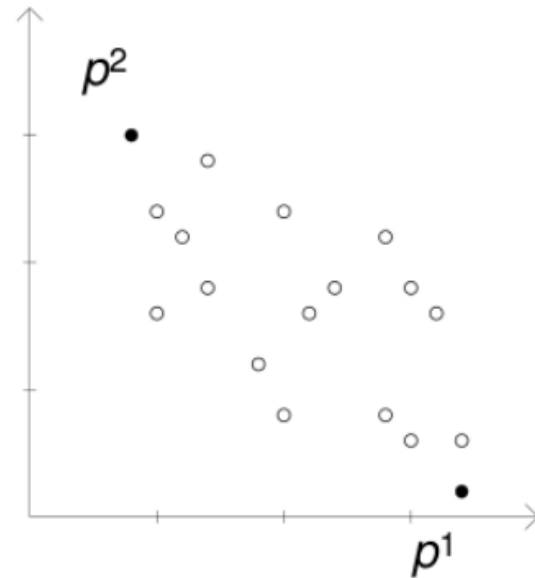
- méthode générale pour résoudre des problèmes bi-objectifs introduite par Ulungu et Teghem (1993).
- **première phase** : trouver toutes les solutions **extrêmes**.
- **deuxième phase** : trouver toutes les solutions **non-extrêmes**.
- assez efficace lorsque le problème mono-objectif sous-jacent est “facile” à résoudre.



Méthode en deux phases : phase 1

Méthode d'Aneja et Nair :

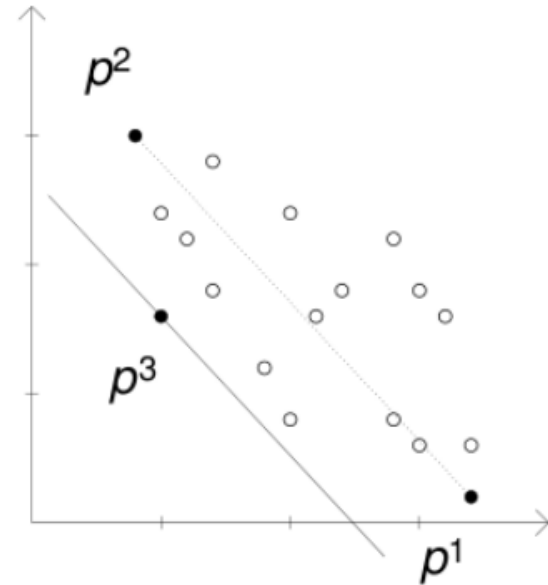
- on identifie les deux points leximin
- le calcul de telles solutions revient à de l'optimisation à un seul objectif
- les deux points leximin sont p^1 et p^2



Méthode en deux phases : phase 1

Méthode d'Aneja et Nair :

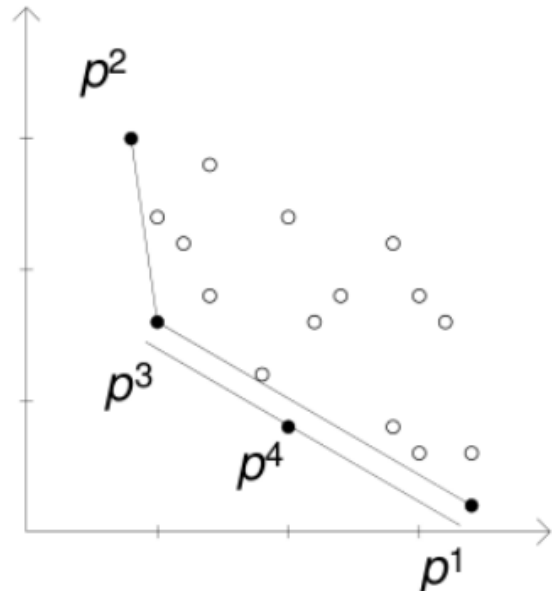
- on calcule **récursivement** les points extrêmes
- combinaison linéaire des objectifs selon la droite qui passe par les points p^1 et p^2
- on trouve le point p^3



Méthode en deux phases : phase 1

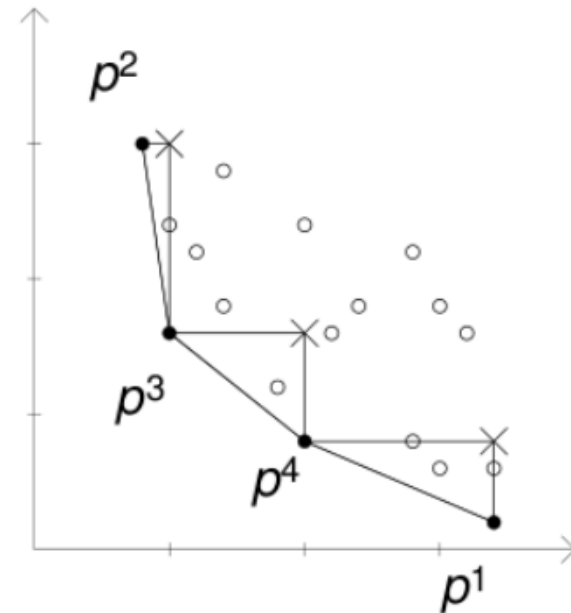
Méthode d'Aneja et Nair :

- on calcule **récursivement** les points extrêmes
- on teste si il existe un point supporté entre p^1 et p^3 , et entre p^3 et p^2
- on trouve le point p^4



Méthode en deux phases : phase 1

A l'issue de la phase 1, les points non-dominés restants se situent nécessairement **dans les triangles** entre deux solutions consécutives.



Pseudo-code de la phase 1

Algorithme d'Aneja et Nair

pour $i=1,2$ **faire**

 ranger lexicographiquement / objectif i

 résoudre le problème pour cet ordre - sol : $s_i = (x_i, y_i)$

si $s_1 = s_2$ **alors retourner** $\{s_1\}$

sinon

$L := RechFront(s_1, s_2)$

retourner concaténation de $\{s_1\}, L, \{s_2\}$

Procédure **RechFront**(s' , s'')

calculer les nouveaux coûts $\varphi_1(e)(y' - y'') + \varphi_2(e)(x'' - x')$

résoudre le problème pour ces coûts - sol : $s = (x, y)$

si $s = s'$ ou $s = s''$ **alors retourner** la liste vide

sinon

$L' := RechFront(s', s) ; L'' := RechFront(s, s'')$

retourner concaténation de $L', \{s\}, L''$

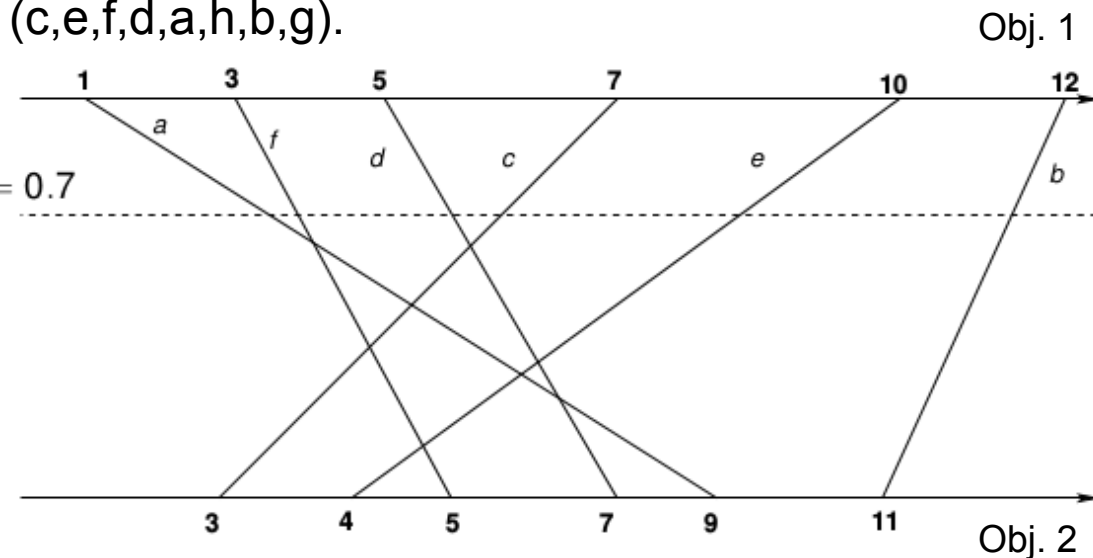
Complexité de la phase 1 pour le problème MOSS

A chaque objet est associé un segment reliant la valeur sur Obj. 1 et la valeur sur Obj. 2.

Le rangement pour $\lambda = 0.7$ is (a,f,d,c,e,h,g,b).

Le rangement pour $\lambda = 0.1$ is (c,e,f,d,a,h,b,g).

	Obj. 1	Obj. 2
Item a	1	9
Item b	12	11
Item c	7	3
Item d	5	7
Item e	10	4
Item f	3	5

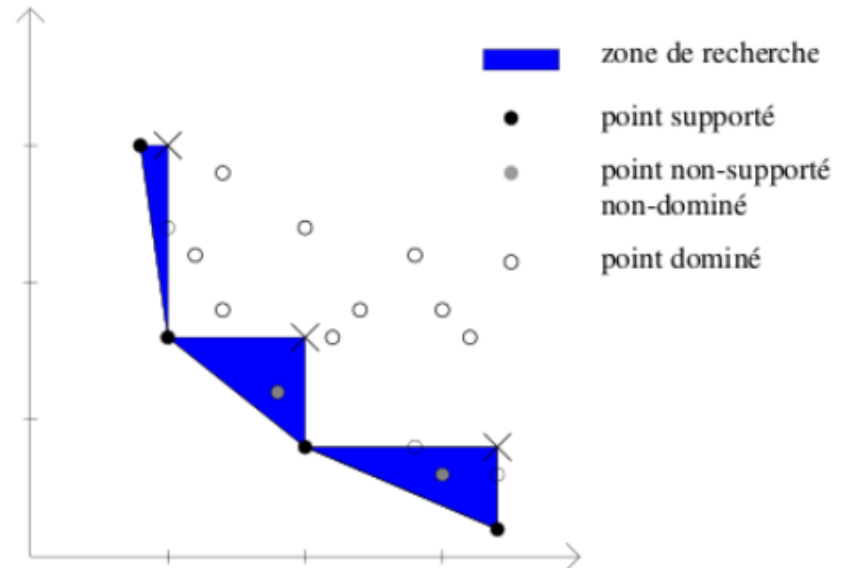


Géométrie algorithmique. Le nombre de points d'intersection est polynomial du nombre de segments : $O(n^2)$ où n est le nombre d'objets.

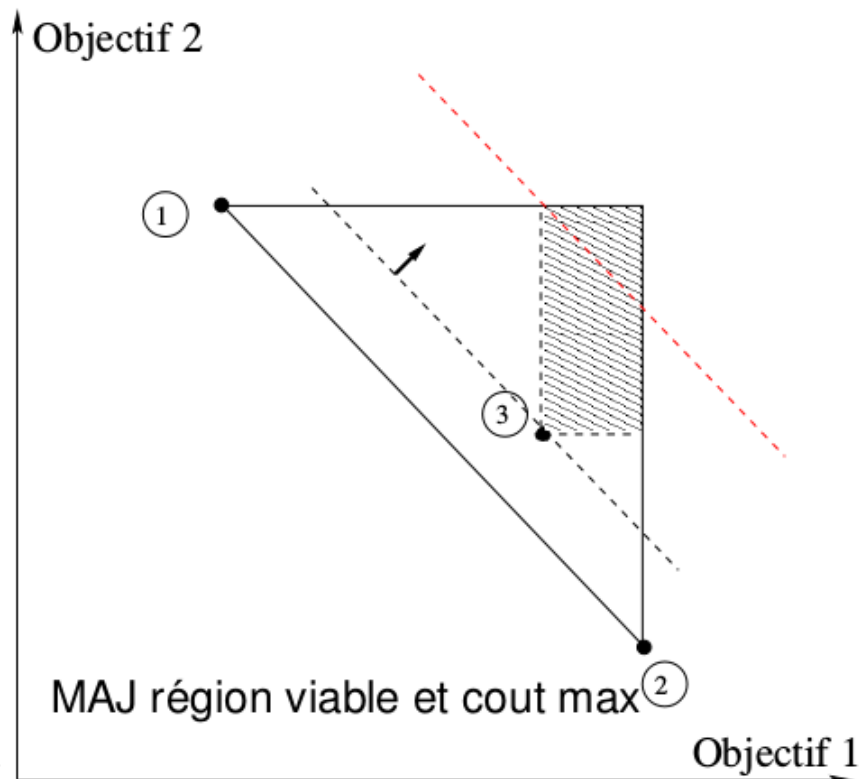
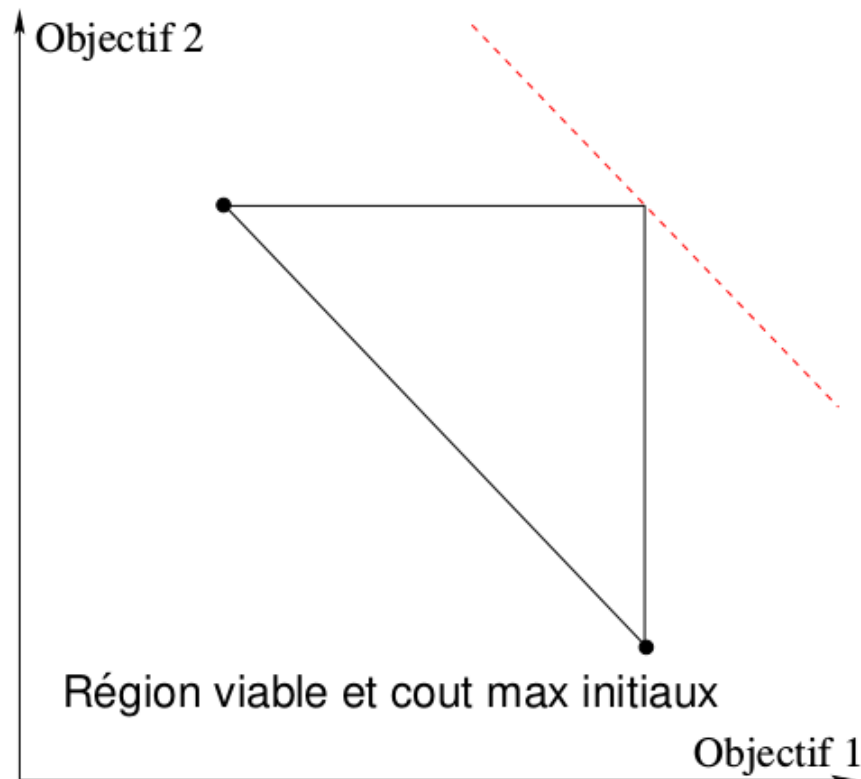
⇒ nombre polynomial d'appel récursif dans la méthode d'Aneja et Nair.

Méthode en deux phases : phase 2

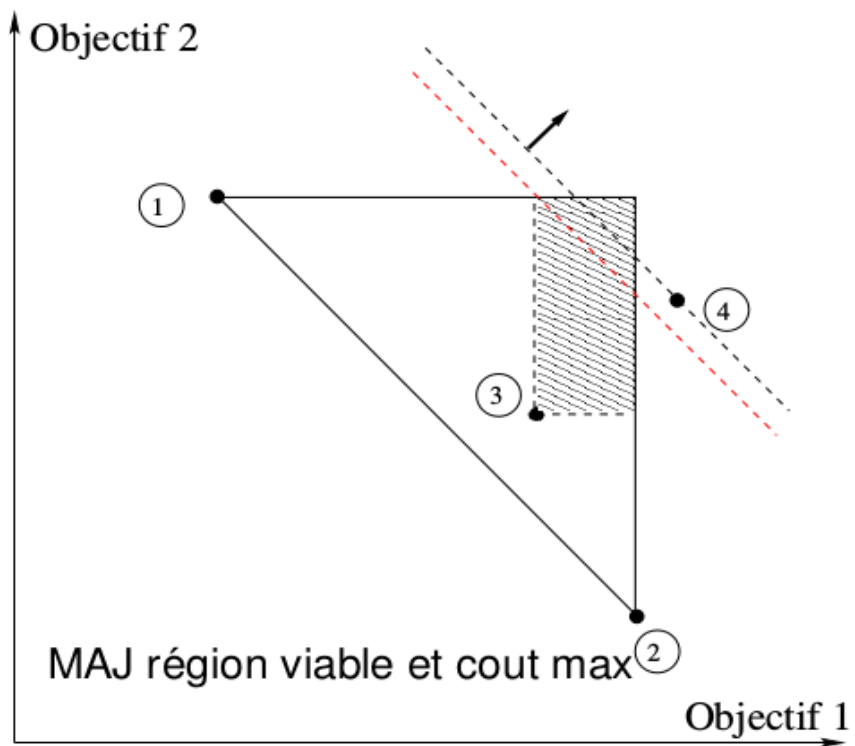
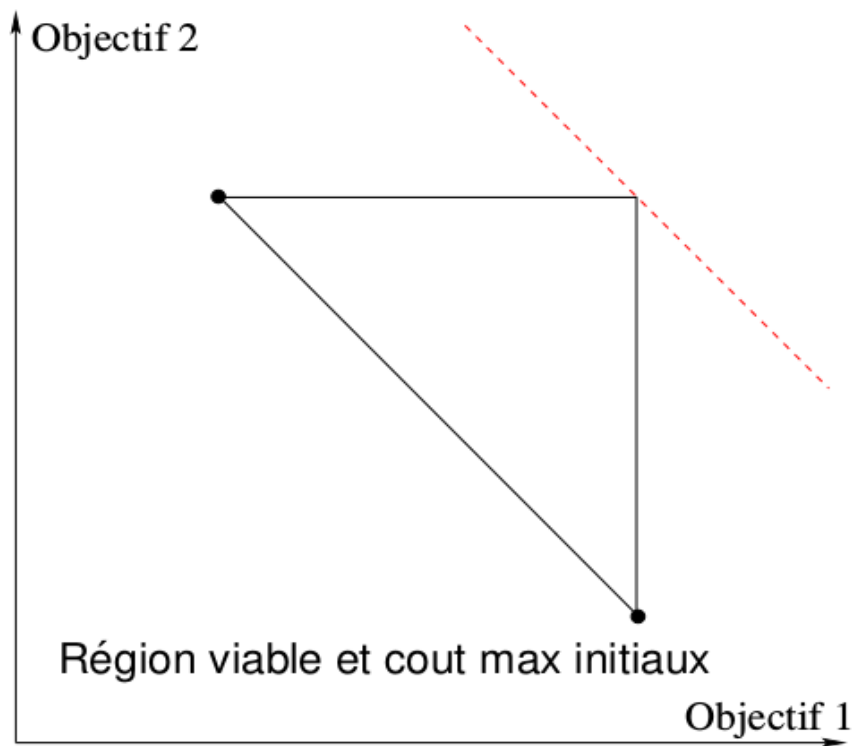
- Explorer les triangles un à un ;
- Version exacte : branch and bound, énumération ordonnée...
- Version approchée : recherche locale



Phase 2 - énumération ordonnée



Phase 2 - énumération ordonnée



Pseudo-code phase 2 - K meilleurs

Algorithme Phase 2

pour tout couple de solutions extrêmes consécutives $s' = (x', y')$,
 $s'' = (x'', y'')$ **faire**
 définir la région viable et le coût maximum
 pour $k = 1, \dots, \infty$ **faire**
 déterminer la k^e meilleure solution $s_k = (x_k, y_k)$
 si il n'y a plus de solution **alors** sortir
 sinon
 si s_k est dans la région viable **alors**
 ajouter s_k à liste des sol. efficaces non-extrêmes
 mettre à jour la région viable et le coût maximum
 sinon si s_k atteint ou dépasse le coût max **alors** sortir

Applications

La méthode en deux phases a été appliquée à la version bi-objectifs de divers problèmes d'optimisation classiques, parmi lesquels :

- **Affectation** [Przybylski et al. 2008, Delort et Spanjaard 2011]
- **Sac à dos** [Visée et al. 1998, Delort et Spanjaard 2010]
- **Flot à coût minimum** [Raith et Ehrgott, 2009]
- **Arbre couvrant minimal** [Ramos et al. 1998, Steiner et Radzik 2008]

La méthode a été adaptée pour **trois objectifs** par Przybylski et al. (2010) et appliquée au problèmes tri-objectifs d'affectation [Przybylski et al. 2010] et de sac à dos [Jorge 2010].

Exemple : arbre couvrant bi-objectifs

Trois variantes selon la procédure d'exploration des triangles :

- une variante approchée [Hamacher et Ruhe 1994] : recherche par voisinage pour explorer les triangles
- deux variantes exactes
 - Ramos et al. 1998 : branch and bound pour explorer les triangles
 - Steiner et Radzik 2006 : énumération ordonnée pour explorer les triangles

Pour les variantes exactes, les meilleurs résultats (en rapidité de calcul) sont obtenus avec une énumération ordonnée en phase 2 (résolution sur des cliques comportant jusqu'à 38 sommets en moins d'une minute).

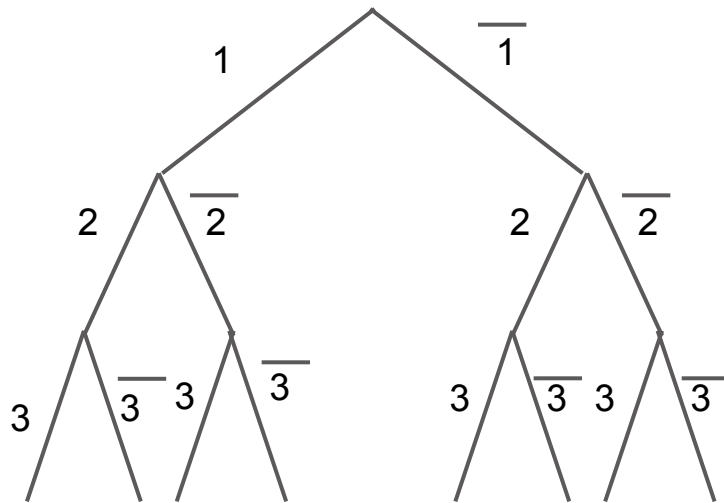
Néanmoins, la **recherche locale** en phase 2 permet d'obtenir une bonne approximation sur des instances de **tailles beaucoup plus importantes** (jusqu'à 400 sommets).

Inconvénient : cette variante est approchée. **Solution** : Prouver l'optimalité de la frontière (ou la compléter) avec un branch and bound multi-objectifs

Branch and bound multi-objectifs

Branch and bound multi-objectifs

- Fondé sur l'**exploration** d'un arbre d'énumération :



- Chaque noeud de l'arbre correspond à un sous-ensemble de solutions réalisables

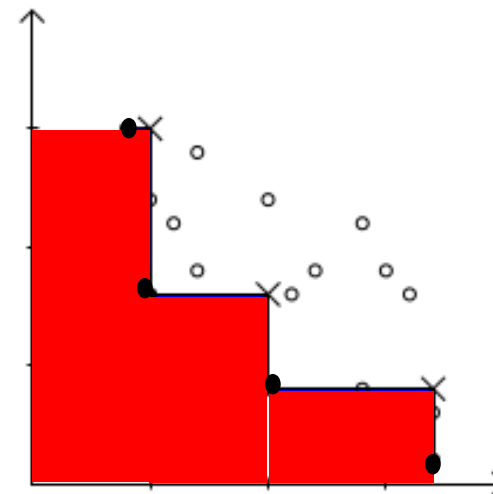
Branch and bound multi-objectifs

- L'idée principale est d'utiliser une **procédure de calcul de borne** pour explorer une portion la plus petite possible de l'arbre d'énumération :

si on peut prouver qu'aucune solution dans le sous-ensemble considéré ne pourra faire mieux que la meilleure solution trouvée jusqu'alors, alors il est inutile d'explorer le sous-arbre correspondant
- Comment étendre ce principe au cas multi-objectifs ?
- D'abord on doit calculer un **ensemble de Pareto approché** de bonne qualité, par exemple avec une recherche locale

Branch and bound multi-objectifs

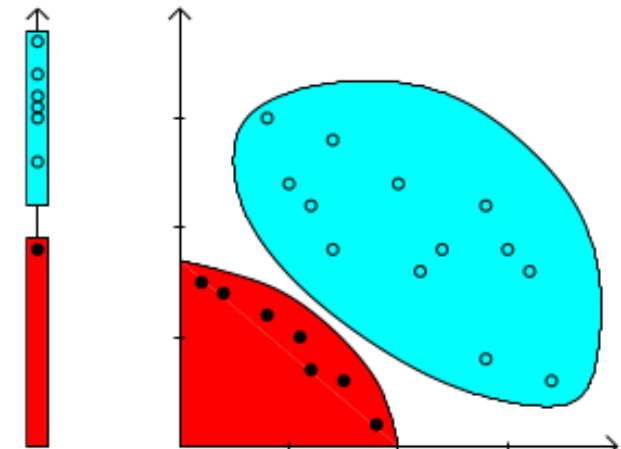
A l'issue de la procédure, les points non-dominés appartiennent nécessairement à la zone rouge.



Branch and bound multi-objectifs

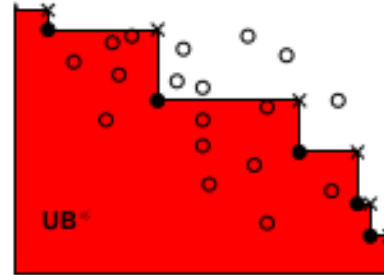
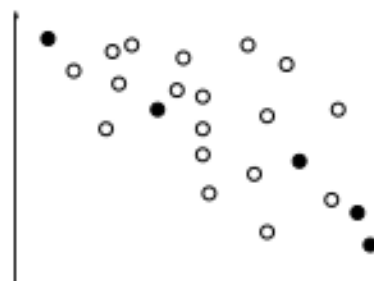
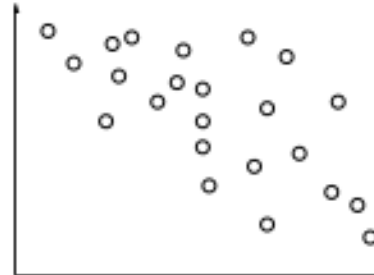
Comment tester si un sous-ensemble ne peut inclure de nouveaux points non-dominés ? → utiliser des **ensembles bornant**

- proposés par Villareal et Karwan (1981).
- Mis en oeuvre indépendamment par Ehrgott et Gandibleux (2007) et Sourd et Spanjaard (2008)



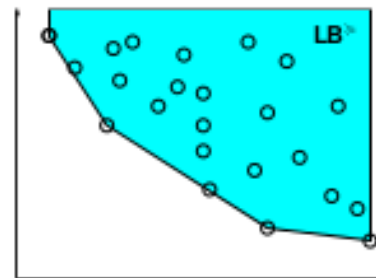
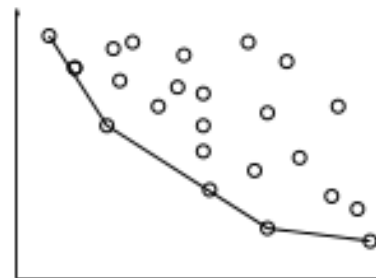
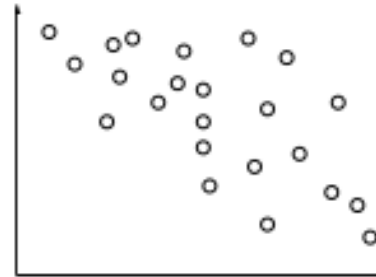
Branch and bound multi-objectifs

- Un **ensemble bornant supérieur** consiste en un ensemble d'images de solutions réalisables (les points noirs sur la figure)
- La **zone de recherche** est la portion de l'espace des objectifs qui n'est dominée par aucun des points de l'ensemble bornant supérieur (la **zone rouge** sur la figure)



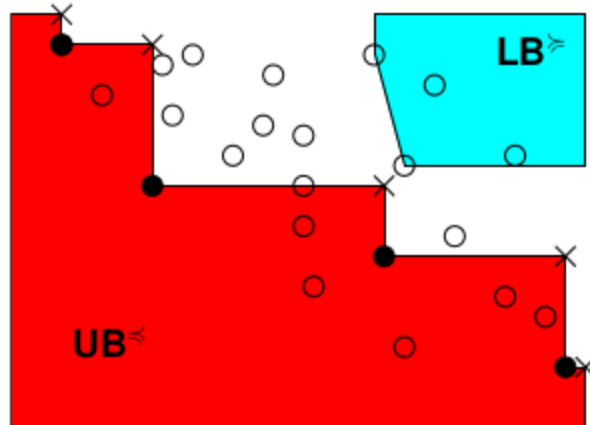
Branch and bound multi-objectifs

- Un **ensemble bornant inférieur** consiste en un ensemble LB de points tels que tout point réalisable est dominé au sens large par au moins un point de LB
- La **frontière non-dominée** de l' enveloppe convexe des points réalisables est un ensemble bornant inférieur valide
- Tous les points réalisables sont nécessairement au-dessus de l' ensemble bornant inférieur (la **zone bleue** sur la figure)



Branch and bound multi-objectifs

- En chaque noeud de l'arbre d'énumération, on teste la vacuité de l'intersection entre la **zone rouge** et la **zone bleue**
- Cela revient à tester si il n'y a pas de “croix” à l'intérieur de la **zone bleue**
- Dans ce cas, le sous-ensemble correspondant de solutions ne peut pas inclure de nouveau point non-dominé !



Branch and bound multi-objectifs

Une procédure de branch and bound multi-objectifs a été mise en oeuvre pour le problème de **l'arbre couvrant bi-objectifs** (Sourd and Spanjaard, 2008) et a permis de multiplier par 10 la taille des instances qui peuvent être résolue dans un temps raisonnable (de 40 à 400 sommets).

Une thèse a été récemment soutenue (Lacour, juillet 2014) qui présente une tentative d'étendre la méthode au cas à **tri-objectifs**, ce qui rend l'approche plus délicate.

Synthèse

Synthèse

Plusieurs procédures de résolution pour les problèmes combinatoires multi-objectifs, dont :

- algorithme glouton multi-objectifs,
- programmation dynamique multi-objectifs,
- énumération ordonnée,
- méthode en deux phases,
- branch and bound multi-objectifs.

Il y en a d'autres ! (fondées sur la programmation mathématique par exemple)

Un des principaux verrous du domaine :

Les procédures de résolution présentées fonctionnent bien pour deux objectifs. Pour **trois objectifs ou plus**, les problèmes deviennent plus difficiles, et il reste beaucoup à faire.